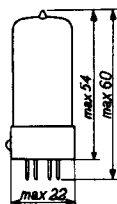
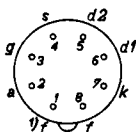
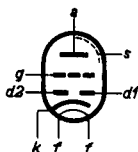


DUODIODE-TRIODE for use as A.F. amplifier  
 DUODIODE-TRIODE pour l'utilisation comme amplifica-  
 trice B.F.  
 DUODIODE-TRIODE zur Verwendung als N.F.Verstärker

Heating: indirect by A.C. or D.C.;  
 series supply  
 Chauffage: indirect par C.A. ou C.C.; Vf = 14 V  
 alimentation en série If = 0,1 A  
 Heizung: indirekt durch Wechsel-  
 oder Gleichstrom;  
 Serienspeisung

Dimensions in mm  
 Dimensions en mm  
 Abmessungen in mm



Base, culot, Fuss: Rimlock

Capacitances Capacités Kapazitäten	Triode section Partie triode Triodenteil	Diode section Partie diode Diodenteil
	$C_g = 2,7 \text{ pF}$	$C_{d1} = 0,8 \text{ pF}$
	$C_a = 1,7 \text{ pF}$	$C_{d2} = 0,7 \text{ pF}$
	$C_{ag} = 1,5 \text{ pF}$	$C_{d1d2} < 0,3 \text{ pF}$
	$C_{gf} < 0,05 \text{ pF}$	$C_{d1f} < 0,1 \text{ pF}$
		$C_{d2f} < 0,05 \text{ pF}$

Between triode and diode sections  
 Entre les parties triode et diode  
 Zwischen Trioden- und Diodenteilen

$C_{d1g} < 0,007 \text{ pF}$   
 $C_{d2g} < 0,03 \text{ pF}$   
 $C_{d1a} < 0,01 \text{ pF}$   
 $C_{d2a} < 0,01 \text{ pF}$

<sup>1</sup>) Earthed side of the filament circuit  
 Côté mise à la terre du circuit de filament  
 Geerdete Seite der Glühfadenschaltung

DOUBLE DIODE-TRIODE for use as A.F. amplifier  
 DOUBLE DIODE-TRIODE pour utilisation en amplificatrice B.F.  
 DOPPELDIODE-TRIODE zur Verwendung als NF-Verstärker

Heating : indirect by A.C. or D.C. series supply

Chauffage: indirect par C.A. ou C.C. alimentation-série

Heizung : indirekt durch Wechsel- oder Gleichstrom Serienspeisung

$V_f = 14 \text{ V}$

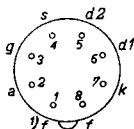
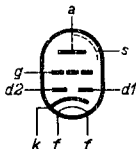
$I_f = 100 \text{ mA}$

Base, culot, Sockel: RIMLOCK

Overall length: 60 mm  
 See pages 203 and 252

Hauteur totale: 60 mm  
 Voir pages 203 et 252

Gesamthöhe : 60 mm  
 Siehe S. 203 und 252



Capacitances  
 Capacités  
 Kapazitäten

Triode section  
 Partie triode  
 Triodenteil

Diode section  
 Partie diode  
 Diodenteil

$C_g = 2,7 \text{ pF}$

$C_a = 1,7 \text{ pF}$

$C_{ag} = 1,5 \text{ pF}$

$C_{gf} < 0,05 \text{ pF}$

$C_{d1} = 0,8 \text{ pF}$

$C_{d2} = 0,7 \text{ pF}$

$C_{d1d2} < 0,3 \text{ pF}$

$C_{d1f} < 0,1 \text{ pF}$

$C_{d2f} < 0,05 \text{ pF}$

Between triode and diode sections  
 Entre les parties triode et diode  
 Zwischen Trioden- und Diodenteilen

$C_{d1g} < 0,007 \text{ pF}$

$C_{d2g} < 0,03 \text{ pF}$

$C_{d1a} < 0,01 \text{ pF}$

$C_{d2a} < 0,01 \text{ pF}$

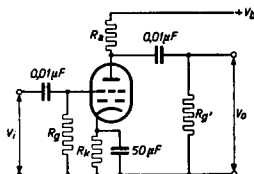
1) Earthed side of the filament circuit  
 Côté mise à la terre du circuit de filament  
 Geerdete Seite der Glühfadenschaltung

**UBC 41***"Miniwatt"*

Typical characteristics of the triode section  
 Caractéristiques typiques de la partie triode  
 Kenndaten des Triodenteiles

$V_a =$	170	100	V
$V_g =$	-1,55	-1,0	V
$I_a =$	1,5	0,8	mA
$S =$	1,65	1,4	mA/V
$\mu =$	70	70	
$R_i =$	42	50	k $\Omega$

Operating characteristics as L.F. amplifier  
 Données caractéristiques comme amplificateur B.F.  
 Betriebsdaten als N.F. Verstärker



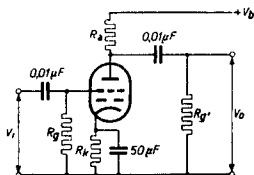
$V_b$ (V)	$R_a$ (M $\Omega$ )	$R_k$ (k $\Omega$ )	$R_g$ (M $\Omega$ )	$R_{g'}$ (M $\Omega$ )	$I_a$ (mA)	$\frac{V_o}{V_i}$	$d_{tot}$ (%) at $V_o =$		
							3V <sub>eff</sub>	5V <sub>eff</sub>	8V <sub>eff</sub>
170	0,22	5,6	1	0,68	0,28	44	1,1	1,3	1,85
100	0,22	5,6	1	0,68	0,18	41	1,4	1,9	
170	0,1	3,9	1	0,33	0,45	37	1,1	1,7	2,6
100	0,1	3,9	1	0,33	0,28	34	2,0	3,5	
170	0,22	0	22	0,68	0,46	48	0,95	1,1	1,3
100	0,22	0	22	0,68	0,21	41	1,45	2,0	
170	0,1	0	22	0,33	0,82	42	0,75	1,0	1,2
100	0,1	0	22	0,33	0,35	35	1,6	2,8	

This valve can be used without special precautions against microphonic effect in circuits in which the input voltage  $V_i \geq 10$  mV for an output of 50 mW of the output valve

Typical characteristics of the triode section  
 Caractéristiques typiques de la partie triode  
 Kenndaten des Triodenteiles

$V_a =$	170	100	V
$V_g =$	-1,55	-1,0	V
$I_a =$	1,5	0,8	mA
$S =$	1,65	1,4	mA/V
$\mu =$	70	70	
$R_i =$	42	50	k $\Omega$

Operating characteristics as L.F. amplifier  
 Données caractéristiques comme amplificatrice B.F.  
 Betriebsdaten als N.F. Verstärker



$V_b$ (V)	$R_a$ (M $\Omega$ )	$R_k$ (k $\Omega$ )	$R_g$ (M $\Omega$ )	$R_{g'}$ (M $\Omega$ )	$I_a$ (mA)	$\frac{V_o}{V_i}$	$d_{tot}$ (%) at $V_o =$		
							3V <sub>eff</sub>	5V <sub>eff</sub>	8V <sub>eff</sub>
170	0,22	5,6	1	0,68	0,28	44	1,1	1,3	1,85
100	0,22	5,6	1	0,68	0,18	41	1,4	1,9	
170	0,1	3,9	1	0,33	0,45	37	1,1	1,7	2,6
100	0,1	3,9	1	0,33	0,28	34	2,0	3,5	
170	0,22	0	22	0,68	0,46	48	0,95	1,1	1,3
100	0,22	0	22	0,68	0,21	41	1,45	2,0	
170	0,1	0	22	0,33	0,82	42	0,75	1,0	1,2
100	0,1	0	22	0,33	0,35	35	1,6	2,8	

This valve can be used without special precautions against microphonic effect in circuits in which the input voltage  $V_i \geq 10$  mV for an output of 50 mW of the output valve

# "Miniwatt" UBC 41

Ce tube peut être utilisé sans précautions spéciales contre l'effet microphonique dans des circuits dont la tension d'entrée  $V_i \geq 10$  mV pour une puissance de 50 mW du tube de sortie

Diese Röhre darf ohne spezielle Massnahmen gegen Mikrophonie verwendet werden in Schaltungen die für eine Eingangsspannung  $V_i \geq 10$  mV eine Leistung von 50 mW der Endröhre ergeben

## Limiting values of the triode section

Caractéristiques limites de la partie triode

Grenzdaten des Triodenteiles

$V_{a_0}$	= max.	550 V
$V_a$	= max.	250 V
$W_a$	= max.	0,5 W
$I_k$	= max.	5 mA
$V_g$ ( $I_g = +0,3 \mu A$ )	= max.	-1,3 V
$R_g$	= max.	3 M $\Omega$ <sup>1)</sup>
$V_{kf}$	= max.	150 V
$R_{kf}$	= max.	20 k $\Omega$

## Limiting values of the diode sections

Caractéristiques limites des parties diode

Grenzdaten der Diodenteile

$V_d$ inv <sub>p</sub>	= max.	350 V
$I_d$	= max.	0,8 mA
$I_{dp}$	= max.	5 mA
$V_{kf}$	= max.	150 V
$R_{kf}$	= max.	20 k $\Omega$

<sup>1)</sup> If the grid bias is obtained only by connecting a leakage resistor in the grid circuit, the max. value of  $R_g$  is 22 M $\Omega$ .

Si la polarisation négative est obtenue seulement par moyen d'une résistance de fuite dans le circuit de la grille, la valeur maximum de  $R_g$  est de 22 M $\Omega$ .

Wenn die negative Gittervorspannung nur von einem Ableitungswiderstand in der Gitterleitung erhalten wird, ist der Maximalwert von  $R_g$  22 M $\Omega$ .

Ce tube peut être utilisé sans précautions spéciales contre l'effet microphonique dans des circuits dont la tension d'entrée  $V_1 \geq 10$  mV pour une puissance de sortie de 50 mW du tube de sortie

Diese Röhre darf ohne spezielle Massnahmen gegen Mikrophonie verwendet werden in Schaltungen die für eine Eingangsspannung  $V_1 \geq 10$  mV eine Ausgangsleistung von 50 mW der Endröhre ergeben

Limiting values of the triode section  
 Caractéristiques limites de la partie triode  
 Grenzdaten des Triodenteiles

$V_{a0}$	= max. 550 V
$V_a$	= max. 250 V
$W_a$	= max. 0,5 W
$I_k$	= max. 5 mA
$-V_g$ ( $I_g = +0,3 \mu A$ )	= max. 1,3 V
$R_g$	= max. 3 M $\Omega$ <sup>1)</sup>
$V_{kf}$	= max. 150 V
$R_{kf}$	= max. 20 k $\Omega$

Limiting values of the diode sections (each diode)  
 Caractéristiques limites des parties diode (par diode)  
 Grenzdaten der Diodenteile (pro Diode)

$V_d$ invp	= max. 350 V
$I_d$	= max. 0,8 mA
$I_{dp}$	= max. 5 mA
$V_{kf}$	= max. 150 V
$R_{kf}$	= max. 20 k $\Omega$

For curves refer to type UBC81  
 Pour les courbes voir type UBC81  
 Für die Kennlinien siehe Typ UBC81

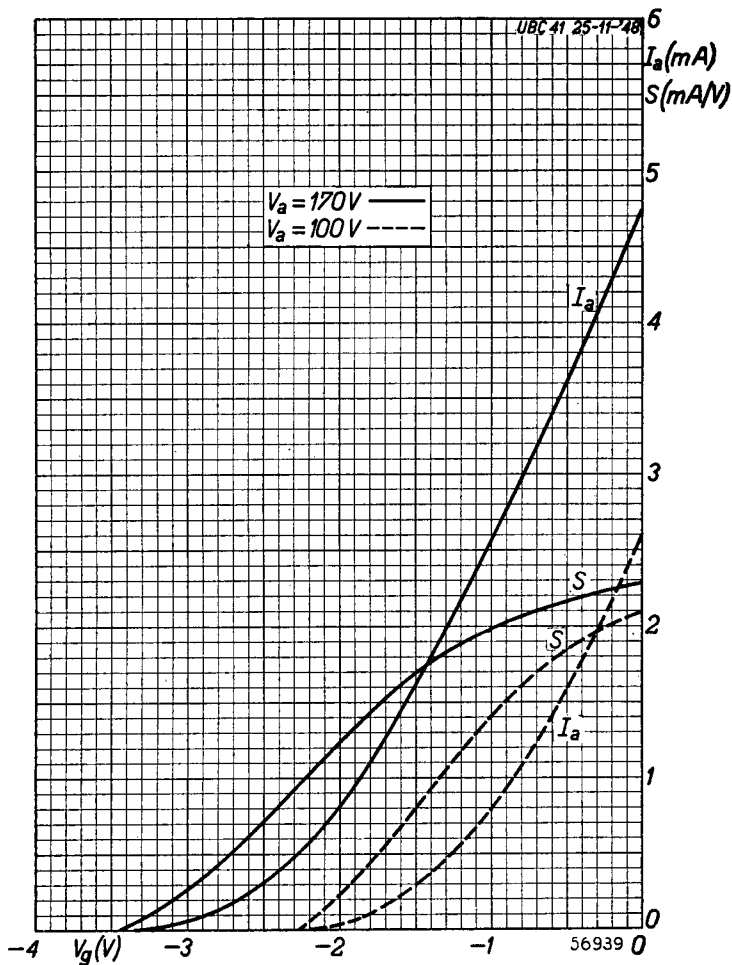
<sup>1)</sup> If the grid bias is obtained only by connecting a leakage resistor in the grid circuit, the max. value of  $R_g$  is 22 M $\Omega$

Si la polarisation négative est obtenue seulement par moyen d'une résistance de fuite dans le circuit de la grille, la valeur maximum de  $R_g$  est de 22 M $\Omega$

Wenn die negative Gittervorspannung nur mittels eines Ableitwiderstandes in der Gitterleitung erhalten wird, ist der Maximalwert von  $R_g$  22 M $\Omega$

# "Miniwatt"

## UBC 41

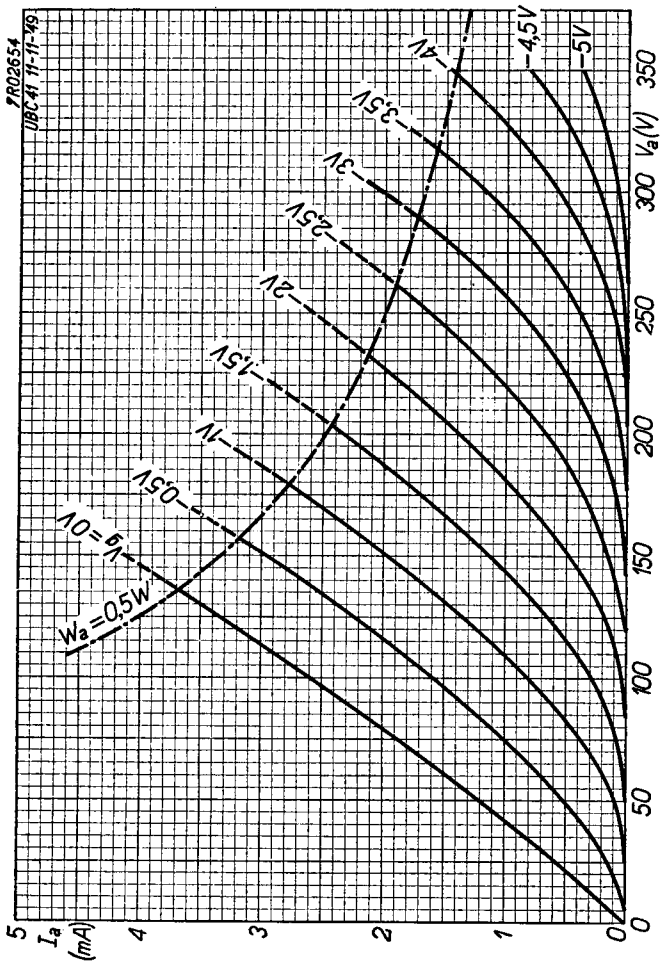


11.11.1949

A

UBC 41

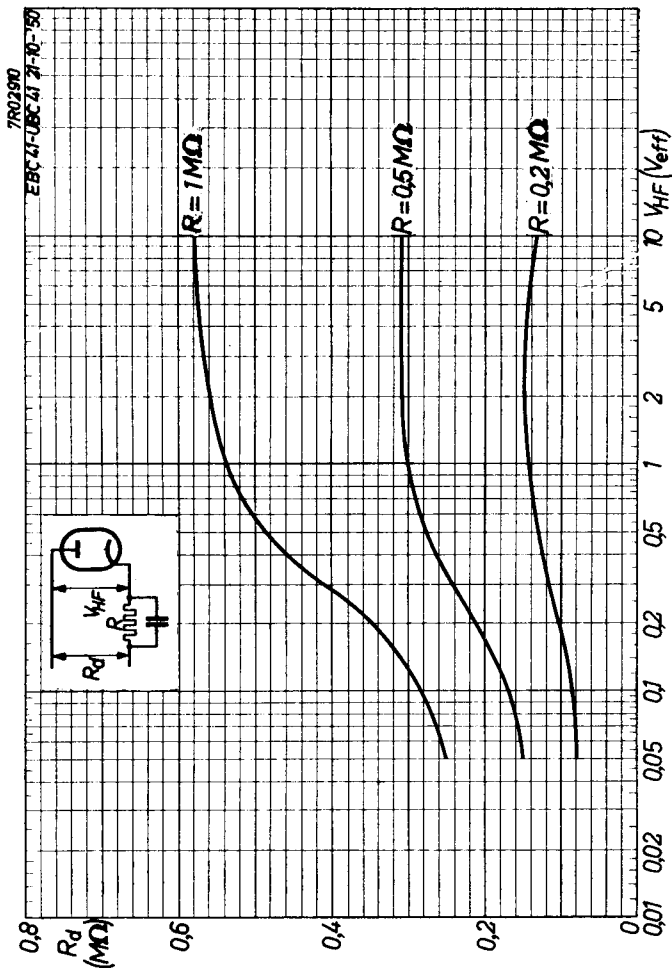
# "Miniwatt"





# "Miniwatt"

UBC 41



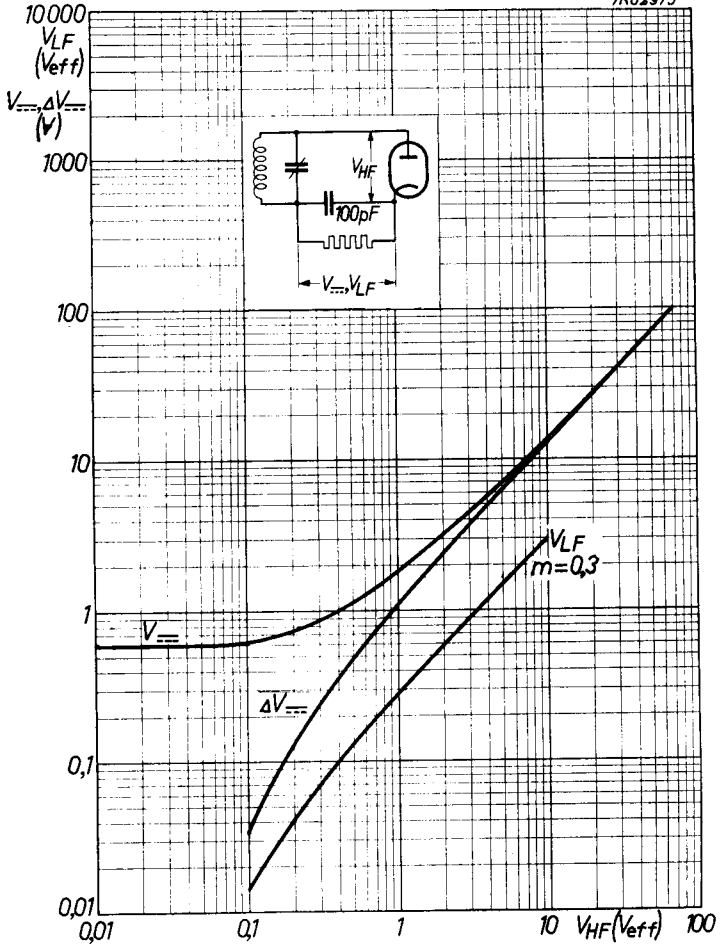
12.12.1950

c

**UBC 41**

*"Miniwatt"*

7R02975



**PHILIPS**



*Electronic  
Tube*

**HANDBOOK**

<b>page</b>	<b>UBC41 sheet</b>	<b>date</b>
1	1	1951.11.11
2	1	1953.12.12
3	2	1951.11.11
4	2	1953.12.12
5	3	1951.11.11
6	3	1958.02.02
7	A	1949.11.11
8	B	1949.11.11
9	C	1950.12.12
10	D	1950.12.12
11	FP	2000.06.11